

Anellierte Pyridin-Verbindungen aus Hydrocodon und Oxycodon, 1. Mitt.:

1,12-Epoxy-6,12a-iminoethano-naphtho[2,1-g]chinoline^{1,2) +)}Klaus Görlicher^{a)} * und Michael Noack^{b)}Institut für Pharmazeutische Chemie der Technischen Universität Braunschweig^{a)}, Beethovenstr. 55, 3300 Braunschweig undInstitut für Pharmazie der Freien Universität Berlin^{b)}, Königin-Luise-Str. 2+4, 1000 Berlin 33

Eingegangen am 22. August 1991

Die aus Hydrocodon (**1a**) und Oxycodon (**1b**) dargestellten 7-Benzyliden-Verbindungen **5** reagieren mit β -Aminocrotonsäuremethylester oder Acetessigsäureethylester und Ammoniumacetat in Eisessig zu den epimeren 1,4-Dihydropyridinen **6** und **7**, die sich durch Säulenchromatographie (SC) trennen lassen. Durch Dehydrierung von **6/7** mit salpetriger Säure werden die Pyridine **8** gewonnen. Von dem 4-(2-Nitrophenyl)pyridin-3-carbonsäureester **8h** lassen sich die (*M*)- und (*P*)-Atropisomere durch SC isolieren.

Anellated Pyridine Compounds from Hydrocodone and Oxycodone, I:
1,12-Epoxy-6,12a-iminoethano-naphtho[2,1-g]quinolines

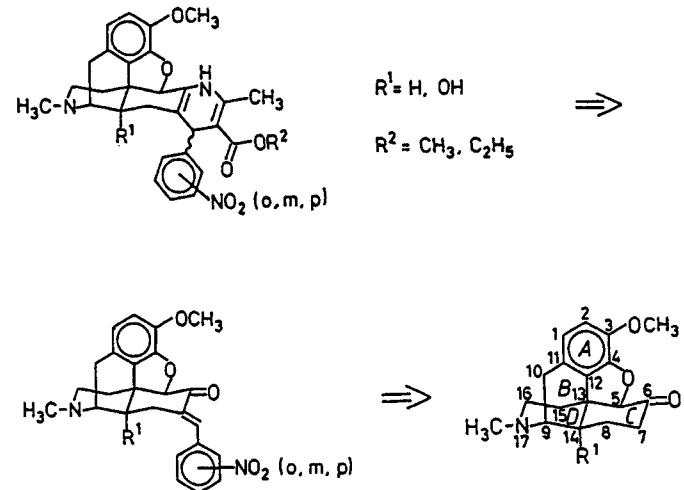
The 7-benzylidene compounds **5**, obtained from hydrocodone (**1a**) and oxycodone (**1b**), react with methyl β -amino crotonic acid or ethyl acetoacetate and ammonium acetate in acetic acid to yield the epimeric 1,4-dihydropyridines **6** and **7**, which were separated by column chromatography (CC). The pyridines **8** are prepared from **6/7** by dehydrogenation with nitrous acid. The (*M*)- and (*P*)-atropisomeres could be isolated from the 4-(2-nitrophenyl)pyridine-3-carboxylic ester **8h** by CC.

Alle bisherigen Versuche, die starke analgetische Wirkung von der Suchterzeugung bei therapeutisch genutzten Opiaten zu trennen, sind fehlgeschlagen. Inzwischen ist bekannt, daß mindestens 3 Typen von Opioid-Rezeptoren existieren. Als gesichert gelten die μ -, δ - und κ -Rezeptoren, wobei Drogen mit κ -Selektivität keine Gewöhnung nach sich ziehen sollen³⁻⁸⁾. Da die Bindung des Pharmakons an den Rezeptor vor allem durch die zweiwertigen Kationen Ca^{2+} , Mg^{2+} und Mn^{2+} beeinflußt wird⁹⁾, liegt es nahe, die Strukturelemente eines Morphin-Derivats mit denen des zentral wirksamen Calciumantagonisten Nimodipin¹⁰⁾ zu kombinieren.

Unter diesem Aspekt planten wir die Synthese von Heterocyclen, bei denen 4,5-Epoxy morphinanane am Ring C in 6,7-Position mit einem 1,4-Dihydropyridin verknüpft sind. Die 4-Position des 1,4-Dihydropyridins sollte durch einen Nitroaromat substituiert sein. Diese Substanzen sollten aus Hydrocodon ($R^1 = \text{H}$) und Oxycodon ($R^1 = \text{OH}$) über deren Benzylidenverbindungen durch Hantzsch-Synthese zugänglich sein (Schema 1).

Erhitzen von Hydrocodon mit 2-Nitrobenzaldehyd und KOH führte jedoch nicht zur Benzylidenverbindung, sondern unter Aufspaltung des Rings C zu einer orangefarbenen Indoxyl- δ -aminosäure. In gleicher Weise reagierte Hydromorphon, während Oxycodon ein komplexes Gemisch rot bis violett gefärbter Substanzen lieferte¹¹⁾.

Um Nachbargruppeneffekte auszuschließen, haben wir zunächst die Aldol-Reaktion mit 3- und 4-Nitrobenzaldehyd näher untersucht. Bei der alkali-katalysierten Umsetzung von Oxycodon (**1b**) mit überschüssigem 3- oder 4-Nitrobenzaldehyd erhält man die 7-Benzyliden-Verbindungen **5e** und **5f**. Aus sterischen Gründen kommt für die Reaktionsprodukte nur die *E*-Konfiguration infrage, wie Dreiding-Modelle zeigen und die $^1\text{H-NMR}$ -Daten beweisen. Die chem. Verschiebung des olefinischen Protons ($\delta = 7.58$) spricht auch nach Inkrementrechnungen ($\delta = 7.47$) für eine *cis*-Stel-



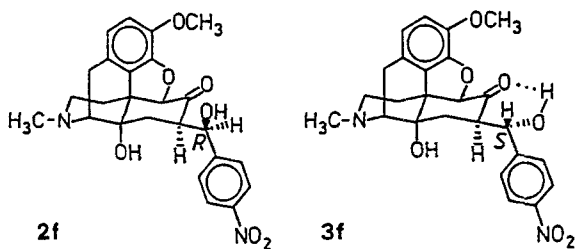
Schema 1: Retrosynthetische Analyse.

lung des olefinischen Protons zur Keton-Carbonylgruppe. Mit Hydrocodon (**1a**) konnten unter gleichen Bedingungen keine einheitlichen Produkte erhalten werden. Der Austausch von KOH gegen NH_3 ergab aber sowohl mit **1a** als auch mit **1b** die Carbinole **2** und **3**, die sich säurekatalysiert zu den 7-Benzyliden-Verbindungen **5b,c,e,f** dehydratisieren ließen.

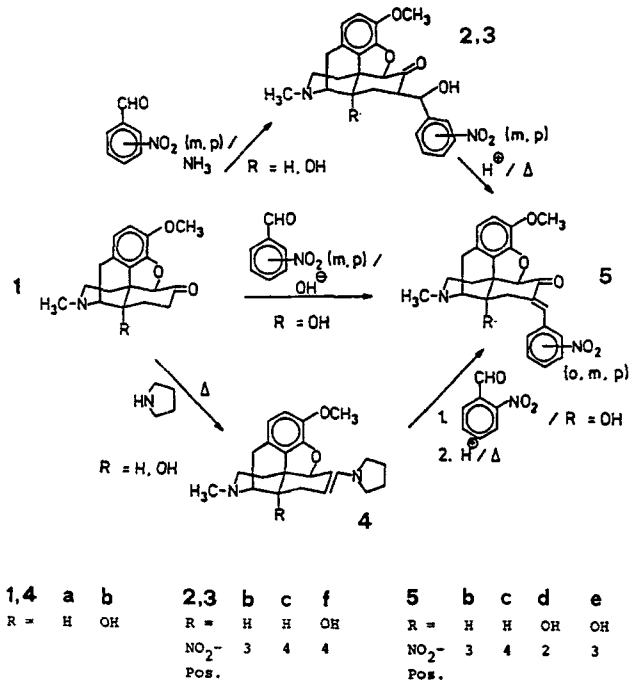
Das nach der Umsetzung von **1a** mit 3-Nitrobenzaldehyd und NH_3 isolierte Produkt **2b** erwies sich als stereochemisch einheitlich. Im $^1\text{H-NMR}$ -Spektrum¹²⁾ erscheint das 7-H infolge Signalüberlagerungen in Form eines Doppeltripletts bei $\delta = 2.75$. Die große Kopplung mit 8-H_a ($J = 13.0$ Hz) beweist die äquatoriale Lage des α -Hydroxybenzyl-Rests. Das benzylische Methin-Proton tritt bei $\delta = 5.41$ als

⁺) Herr Prof. Dr. W. Wiegrebe mit den besten Wünschen zum 60. Geburtstag gewidmet.

Singulett in Resonanz; die fehlende Aufspaltung mit 7-H ist auf einen Diederwinkel Φ von 90° zurückzuführen. Dreiding-Modelle in der günstigsten Konformation, bezogen auf die räumliche Lage des Nitroaromaten, zeigen, daß am exocyclischen Chiralitätszentrum (*R*)-Konfiguration vorliegen muß. (*S*)-Konfiguration würde dagegen eine intramolekulare H-Brückenbindung zwischen der Carbonyl- und der OH-Gruppe ermöglichen bei einem Torsionswinkel Φ von etwa 140° zwischen 7-H und dem benzyllischen H. Daß diese Schlußfolgerungen zutreffen, zeigt die Umsetzung von **1b** mit 4-Nitrobenzaldehyd. Hier werden die epimeren Carbinole **2f** und **3f** im Verhältnis von etwa 2:1 erhalten, deren Methin-Protonen bei $\delta = 5.51$ als Singulett bzw. bei $\delta = 4.80$ als Dublett registriert werden. Aus der Kopplungskonstanten $J = 7.4$ Hz folgt ein Diederwinkel Φ von etwa 140° mit daraus abgeleiteter (*S*)-Konfiguration am Carbinol-C-Atom. Die Trennung der epimeren Carbinole **2f** und **3f** durch fraktionierende Kristallisation oder SC ist nicht gelungen.



Schema 2: Diastereomere Carbinole **2f** und **3f**.



Schema 3: Synthese der Benzylidenverbindungen **5**.

Da die 2-Nitrobenzyliden-Verbindungen durch *Knoevenagel*-Reaktion nicht zu erhalten waren, mußten andere Synthesemethoden herangezogen werden. Das aus **1b** mit Pyrrolidin nach *Kovar*¹³⁾ erhaltene Enamin **4b** ließ sich nach einem Verfahren von *Birkofe*¹⁴⁾ mit 2-Nitrobenzaldehyd umsetzen. Durch saure Aufarbeitung und sc Reinigung ließ sich die 2-Nitrobenzyliden-Verbindung **5d** isolieren. Die entspr. Reaktion mit **4a**¹⁵⁾ führte nicht zum Ziel. Erfolglos verlief sowohl die Umsetzung von **1a** mit 2-Nitrobenzaldehyd in MeOH/HCl¹⁶⁾ oder Acetanhydrid¹⁷⁾ als auch der Einsatz des Magnesiumenolats von **1a**¹⁸⁾ oder des Trimethylsilylenolethers in Gegenwart von TiCl₄¹⁹⁾.

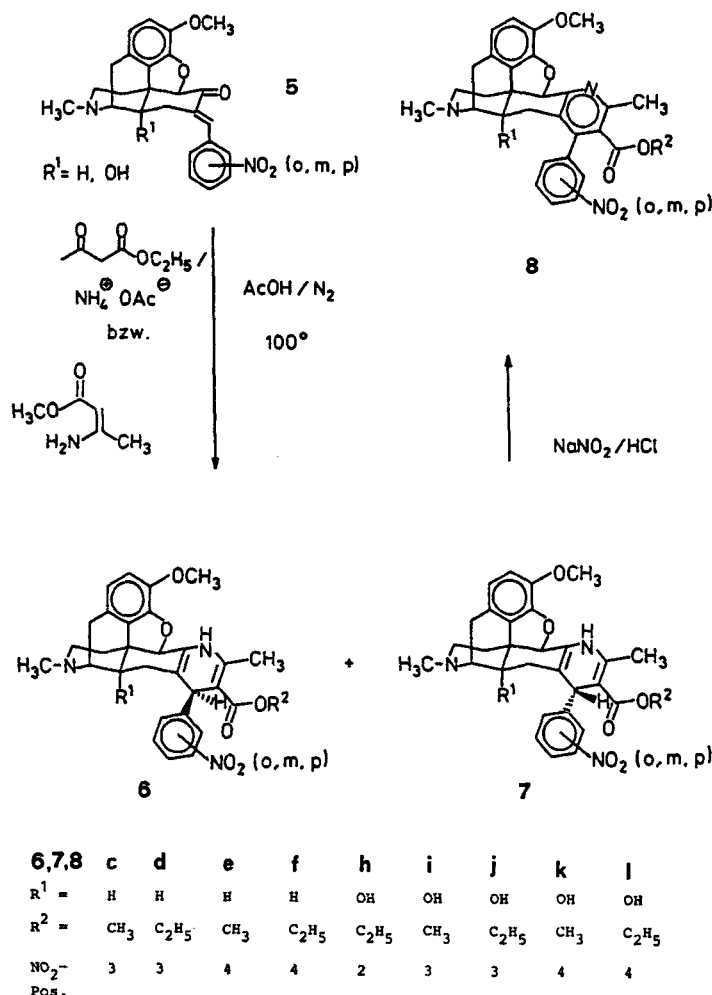
Michael-Addition der Benzyliden-Verbindungen **5** mit β -Aminocrotonsäureestern und anschließende cyclisierende Kondensation führt zu einem Gemisch der beiden epimeren anellierten 1,4-Dihydropyridine **6** und **7**. Die Darstellung der Diastereomere gelingt auch durch Erhitzen mit Acetessigsäureestern und Ammoniumacetat in Eisessig unter N₂. Bei den 3- und 4-Nitrophenyl-substituierten Verbindungen gelang die Trennung des angefallenen (1+1)-Gemisches in die Epimere durch SC an Kieselgel. Bei dem 2-Nitrophenyl-substituierten Oxycodon-Derivat konnte erst durch den Einsatz der Zentrifugalschichtchromatographie (CLC) unter NH₃-Atmosphäre (!) das Hauptprodukt **6h** rein isoliert werden. Das zweite Diastereomer **7h** fiel in minimaler Menge an und war stark verunreinigt durch das korrespondierende Pyridin-Derivat **8h**.

Die Zuordnung der Konfiguration am neuen Chiralitätszentrum ist durch Vergleich der jeweiligen ¹H-NMR-Spektren möglich. Wesentliche Unterschiede werden in den chemischen Verschiebungen der aromatischen Protonen sichtbar. (*S*)-Konfiguration liegt vor, wenn der Nitroaromat dem Ring **A** des Epoxymorphinans räumliche Nähe kommt, wodurch es infolge des Ringstromeffekts zu Hochfeldverschiebungen gegenüber dem (*R*)-Epimer kommt*).

Die anellierten 1,4-Dihydropyridine **6** und **7** lassen sich bereits mit milden Oxidationsmitteln zu den korrespondierenden Pyridinen **8** dehydrieren. Wir haben die Umsetzung mit NaNO₂ und HCl bei Raumtemp. durchgeführt. In den anellierten Pyridinen ist durch den Verlust des *sp*³-hybridisierten C-8 die freie Drehbarkeit des Nitroaromaten behindert. Im ¹H-NMR-Spektrum der Substanzen mit 4-Nitrophenyl-Gruppe ist die chemische Äquivalenz der 2',6'- und 3',5'-Protonen verloren gegangen. Dieses Phänomen ist bei den 3-Nitrophenyl-substituierten Derivaten noch stärker ausgeprägt. Das anellierte Pyridin aus Oxycodon mit einer 2-Nitrophenyl-Gruppe läßt sich durch SC in die Atropisomere trennen. Die Zuordnung zum (*M*)- und (*P*)-Diastereomer** erfolgt aufgrund der unterschiedlichen chemischen Verschiebung des 6'-H im ¹H-NMR-Spektrum. Dreiding-Modellbetrachtungen zeigen, daß bei (*M*)-Konfiguration das 6'-H in den Ringstrom des aromatischen Morphinan-A-Rings gerät und dadurch zu höherem Feld verschoben wird.

*) Bei **6h/7h** kehrt sich bei gleicher absoluter Konfiguration aufgrund der Sequenzregel die Konfigurationsbezeichnung um.

**) Es wird die stereochemische Bezeichnung von Biphenylen und strukturell verwandten Verbindungen durch ihre Helicität benutzt^{20,21)}. *M* (minus) bezeichnet eine links-händige, *P* (plus) eine rechts-händige Drehung der Helix. Die Beschreibung der Konformation an der chiralen Achse ist auch mit der *R/S*-Nomenklatur möglich. *M* entspricht *aR* und aus *P* wird *aS*. (Der Drehsinn ist hier gegenläufig!)



Schema 4: Naphtho[2,1-g]chinoline.

Die Zuordnung stimmt mit dem experimentellen Befund überein, daß sich das (*P*)-Rotamer beim Erhitzen in das stabilere (*M*)-Rotamer umwandelt, in dem die Nitrogruppe und das Morphinan-Grundgerüst keine sterische Behinderung aufweisen.

Herrn Dr. Ph. Fresenius[†], Karlsruhe, danken wir für seine wertvolle Hilfe bei der systematischen Benennung der anellierten Morphinane.

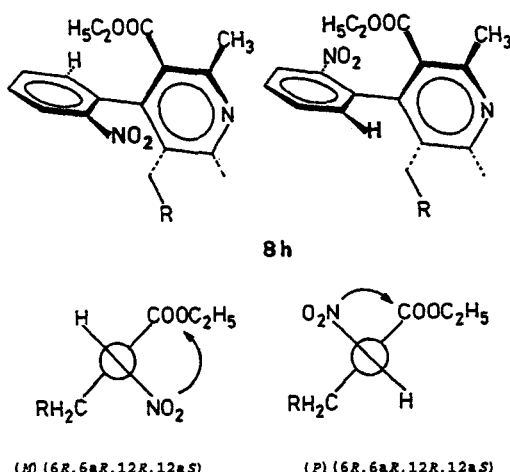
Der Knoll AG, Ludwigshafen und E. Merck, Darmstadt danken wir für die großzügige Bereitstellung von Dicodid^R- und Eukodal^R-Substanz.

Experimenteller Teil

Allgemeine Angaben: Schmp.: Linström-Gerät, nicht korrigiert.- Elementaranalysen: Perkin-Elmer-Elementaranalysator 240 B.- IR: Perkin-Elmer-Spektralphotometer 297 und 197.- UV: Multidiodenarray-Spektralphotometer HP 8451 A.- ¹H- und ¹³C-NMR: Bruker WM 250.- MS: Finnigan-MAT CH-7A (70 eV), Quellentemp. ca. 170°C.- Spezifische Drehung (Ph. Eur.): Perkin-Elmer-Polarimeter 141; Lösungsmittel: 0.1 N HCl; c = 0.05 g/100 ml.- Säulenchromatographie (SC): Kieselgel 63-200 µm; Fließmittel: Aceton, Methanol oder Ethylacetat/Diethylamin (59+1).- Dünnschichtchromatographie: DC-Fertigplatten (Glas) "Merck" 5 x 10 cm, Adsorbens: Kieselgel 60 F254.- Zentrifugalchromatographie (CLC): Chromatotron^R Modell 7924 T (Fa. Harrison Research, Palo Alto, California); Kieselgel 60 PF254 gipshaltig, Schichtdicke 2 mm.

Allgemeine Arbeitsvorschrift zur Darstellung der (7*α*-Morphinanyl)-nitrophenyl-methanole 2 und 3 (AAV 1)

2 mmol 1 und 2.1 mmol 3- bzw. 4-Nitrobenzaldehyd werden unter leichtem Erwärmen in 20 ml EtOH gelöst, mit 2 ml konz. NH₃ versetzt und 1 d



Schema 5: Atropisomere von 8h.

(mit 4-Nitrobenzaldehyd: 3 h) bei Raumtemp. gerührt. Der ausgefallene Niederschlag wird abgesaugt, mit EtOH gewaschen und a) aus CHCl₃/Petroläther umgefällt b) mit EtOH ausgekocht c) aus CHCl₃/EtOH umkristallisiert.

Allgemeine Arbeitsvorschrift zur Darstellung der Benzylidenmorphinanone 5 (AAV 2)

300 mg 2/3 werden in 10 ml AcOH nach Zusatz von 10 Tropfen konz. HCl 30 min unter Rückfluß gekocht. Nach dem Erkalten wird mit 30 ml H₂O verdünnt, mit wäßriger KOH alkalisch gemacht und mit CH₂Cl₂ extrahiert. Die mit Na₂SO₄ getrocknete org. Phase wird i.Vak. eingedampft und der Rückstand a) aus MeOH/H₂O umgefällt oder b) aus CHCl₃/EtOH umkristallisiert.

Allgemeine Arbeitsvorschrift zur Darstellung der Hexahydro-naphtho[2,1-g]chinoline 6 und 7 (AAV 3)

0.5 mmol 5 werden mit 2.5 mmol 3-Aminocrotonsäuremethylester 3 h bzw. 500 mg Acetessigerester und 4 g Ammoniumacetat 30 min bei 90–100°C unter N₂ in 10 ml AcOH gerührt. Nach dem Erkalten wird mit 20 ml H₂O verdünnt, mit wäßriger KOH alkalisch gemacht und mit CH₂Cl₂ extrahiert. Die über Na₂SO₄ getrocknete org. Phase wird i.Vak. eingedampft und der Rückstand a) durch SC oder b) durch CLC (Fließmittel: Ethylacetat/NH₃-Atmosphäre) getrennt.

Allgemeine Arbeitsvorschrift zur Darstellung der Tetrahydro-naphtho[2,1-g]chinoline 8 (AAV 4)

100 mg 6/7 werden in 10 ml EtOH gelöst, mit 10 Tropfen konz. HCl und 4 ml 0.1 M NaNO₂-Lösung versetzt und 1 h bei Raumtemp. gerührt. Anschließend wird mit wäßriger KOH alkalisch gemacht, mit 50 ml H₂O versetzt, abgesaugt und mit H₂O gewaschen.

(R,5R,7R,9R,13S,14R)-(-)-(4,5α-Epoxy-3-methoxy-17-methyl-6-oxo-7α-morphinanyl)-(3-nitrophenyl)-methanol (2b)

Darstellung aus 1a und 3-Nitrobenzaldehyd nach AAV 1a. Farbloses amorphes Pulver, Schmp. 177–180°C (Zers.) (CHCl₃/Petroläther). Ausb. 33%.- IR (KBr): $\tilde{\nu}$ = 3420 (OH), 1720 (C=O), 1625 (C=C), 1605 (Aryl), 1525, 1345 cm⁻¹ (NO₂).- UV (0.1 N HCl): λ max (lg ε) = 272 nm (3.86).- ¹H-NMR (CDCl₃): δ = 1.33 ('q', 1H, 8-H_a, J = 13.0 Hz), 1.55 ('dt', 1H, 8-H_e, J = 13.0, J = 4.1 Hz), 1.75–1.80 (m, 1H, 15-H_e), 2.00 ('dt', 1H, 15-H_a, J = 11.9, J = 4.4 Hz), 2.12 ('dt', 1H, 16-H_a, J = 12.0, J = 3.2 Hz), 2.25–2.34 (m, 1H, 10-H_a), 2.34 (s, 3H, NCH₃), 2.46–2.54 (m, 2H, 14-H, 16-H_e), 2.75 ('dt', 1H, 7-H_a, J = 13.0, J = 4.1 Hz), 2.99 (d, 1H, 10-H_e, J = 19.1 Hz), 3.03–3.06 (m, 1H, 9-H), 3.37 (s, br., 1H, OH, +D₂O:-), 3.93 (s, 3H, OCH₃), 4.78 (s, 1H, 5-H), 5.41 (s, 1H, CHO), 6.67 (d, 1H, 1-H, J = 8.2 Hz), 6.74 (d, 1H, 2-H, J = 8.2 Hz), 7.53 (t, 1H, 5'-H, J = 7.9 Hz), 7.65 (d, 1H, 6'-H, J = 7.7 Hz), 8.14 (dd, 1H, 4'-H, J = 8.0, J = 0.8 Hz), 8.22 (s, 1H, 2'-H).- [α]_D²⁰ = -41°.- DC (Isopropanol/Toluol/NH₃: 6+3+1): Rf = 0.66.- C₂₅H₂₆N₂O₆·H₂O (468.5) Ber. C 64.1 H 6.02 N 6.0 Gef. C 63.7 H 5.72 N 5.9.- Molmasse: 450 (ms).

(R,5R,7R,9R,13S,14R)-und

(S,5R,7R,9R,13S,14R)-(4,5α-Epoxy-3-methoxy-17-methyl-6-oxo-7α-morphinanyl)-(4-nitrophenyl)-methanol (2c) und (3c)

Darstellung aus 1a und 4-Nitrobenzaldehyd nach AAV 1b. Farbloses amorphes Pulver, Schmp. 211–213°C (Zers.) (EtOH). Ausb. 42%.- Diastereomerengemisch (R/S) = 68+32.- IR (KBr) $\tilde{\nu}$ = 3400 (OH), 1715 (C=O), 1625 (C=C), 1600 (Aryl), 1505, 1340 cm⁻¹ (NO₂).- UV (0.1 N HCl): λ max (lg ε) = 282 nm (4.01).- ¹H-NMR (CDCl₃): δ = 1.07–3.21 (m, 12 H), 2.35 (s, 3H, NCH₃), 3.93/3.94 (2s, 3H, (R)-OCH₃/(S)-OCH₃), 4.67/4.79 (2s, 1H, (S)5-H/(R)5-H), 4.81/5.42 (d/s, 1H, (S)-CHO, J = 7.4 Hz/(R)-CHO, J = 6.67–6.77 (m, 2H, 1-H, 2-H), 7.39–7.50 (m, 2H, 2'-H, 6'-H), 8.20–8.25 (m,

2H, 3'-H, 5'-H).- C₂₅H₂₆N₂O₆·1/2 H₂O (459.5) Ber. C 65.3 H 6.10 N 5.7 Gef. C 65.6 H 6.04 N 5.7.- Molmasse: 450 (ms).

(R,5R,7R,9R,13S,14S)-und

(S,5R,7R,9R,13S,14S)-(4,5α-Epoxy-14-hydroxy-3-methoxy-17-methyl-6-oxo-7α-morphinanyl)-(4-nitrophenyl)-methanol (2f) und (3f)

Darstellung aus 1b und 4-Nitrobenzaldehyd nach AAV 1c. Farblose Kristalle, Schmp. 199–202°C (Zers.) (CHCl₃/EtOH). Ausb. 29%.- Diastereomerengemisch (R/S) = 65+35.- IR (KBr): $\tilde{\nu}$ = 3560, 3400 (OH), 1710 (C=O), 1630 (C=C), 1600 (Aryl), 1505, 1340 cm⁻¹ (NO₂).- UV (0.1 N HCl): λ max (lg ε) = 302 nm (4.04).- ¹H-NMR (CDCl₃): δ = 1.42–1.73 (m, 3H, 8-H_a, 8-H_e, 15-H_e), 2.12–2.17 (m, 1H, 15-H_a), 2.34/2.35 (2s, 3H, (R)-NCH₃/(S)-NCH₃), 2.38–2.53 (m, 2H, 16-H_a, 16-H_e), 2.52 (dd, 1H, 10-H_a, J = 18.6, J = 6.0 Hz), 2.73 (d, 1H, 9-H, J = 5.7 Hz), 2.98/3.64 (2s, br., (R)-OH/(S)-OH, +D₂O:-), 3.11 (d, 1H, 10-H_e, J = 18.6 Hz), 3.45–3.52 (m, 1H, 7-H), 3.94 (s, 3H, OCH₃), 4.75/4.80 (2s, 1H, (S)-5-H/(R)-5-H), 4.80/5.51 (d/s, 1H, (S)-CHO, J = 7.4 Hz/(R)-CHO), 6.66 (d, 1H, 1-H, J = 8.3 Hz), 6.74/6.75 (2d, 1H, (R)-2-H/(S)-2-H, J = 8.3 Hz), 7.49 (d, 2H, 2'-H, 6'-H, J = 8.6 Hz), 8.20/8.21 (2d, 2H, (S)-3'-H, 5'-H/(R)-3'-H, 5'-H, J = 8.6 Hz).- DC (Aceton): Rf = 0.31 und 0.44.- C₂₅H₂₆N₂O₇·1/2 H₂O (475.5) Ber. C 63.2 H 5.72 N 5.9 Gef. C 63.3 H 5.56 N 6.0.- Molmasse: 466 (ms).

(E)-(5R,9R,13S,14R)-(-)-(4,5α-Epoxy-3-methoxy-17-methyl-7-(3-nitrobenzyliden)-morphinan-6-on (5b)

Darstellung aus 2b nach AAV 2a. Amorphes hellgelbes Pulver, Schmp. ab 81°C (Zers.) (MeOH/H₂O). Ausb. 86%.- IR (KBr): $\tilde{\nu}$ = 1685 (CO), 1630 (C=C), 1600 (Aryl), 1525, 1345 cm⁻¹ (NO₂).- UV (0.1 N HCl): λ max (lg ε) = 278 nm (4.15).- ¹H-NMR (CDCl₃): δ = 1.83–1.90 (m, 1H, 15-H_e), 1.96–2.11 (m, 2H, 8-H_e, 15-H_a), 2.31 (dt, 1H, 16-H_a, J = 12.1, J = 3.6 Hz), 2.40–2.60 (m, 3H, 10-H_a, 14-H, 16-H_e), 2.43 (s, 3H, NCH₃), 2.80 (dd, 1H, 8-H_a, J = 14.8, J = 4.2 Hz), 3.13 (d, 1H, 10-H_e, J = 18.9 Hz), 3.20 (dd, 1H, 9-H, J = 6.0, J = 2.9 Hz), 3.91 (s, 3H, OCH₃), 4.67 (s, 1H, 5-H), 6.73 (d, 1H, 1-H, J = 8.2 Hz), 6.78 (d, 1H, 2-H, J = 8.2 Hz), 7.46 (d, 1H, C=CH, J = 2.6 Hz), 7.57–7.59 (m, 2H, 5'-H, 6'-H), 8.11 (t, 1H, 2'-H, J = 0.8 Hz), 8.18–8.23 (m, 1H, 4'-H).- [α]_D²⁰ = -6°.- DC (Aceton): Rf = 0.19.- C₂₅H₂₄N₂O₅ (432.5) Ber. C 69.4 H 5.59 N 6.5 Gef. C 69.1 H 5.61 N 6.4.- Molmasse: 432 (ms).

(E)-(5R,9R,13S,14R)-(+)-(4,5α-Epoxy-3-methoxy-17-methyl-7-(4-nitrobenzyliden)-morphinan-6-on (5c)

Darstellung aus 2c/3c nach AAV 2b. Zitronengelbe Plättchen, Schmp. 237–239°C (Zers.) (CHCl₃/EtOH). Ausb. 90%.- IR (KBr): $\tilde{\nu}$ = 1680 (CO), 1630 (C=C), 1605 (Aryl), 1515, 1345 cm⁻¹ (NO₂).- UV (0.1 N HCl): λ max (lg ε) = 306 nm (4.12).- ¹H-NMR (CDCl₃): δ = 1.85 (dt, 1H, 15-H_e, J = 12.2, J = 1.5 Hz), 1.91–2.09 (m, 2H, 8-H_e, 15-H_a), 2.28 (dt, 1H, 16-H_a, J = 12.2, J = 3.6 Hz), 2.41 (dd, 1H, 10-H_a, J = 18.9, J = 6.4 Hz), 2.42 (s, 3H, NCH₃), 2.45–2.60 (m, 2H, 14-H, 16-H_e), 2.78 (dd, 1H, 8-H_a, J = 14.8, J = 4.2 Hz), 3.12 (d, 1H, 10-H_e, J = 19.2 Hz), 3.18 (dd, 1H, 9-H, J = 6.1, J = 2.8 Hz), 3.89 (s, 3H, OCH₃), 4.67 (s, 1H, 5-H), 6.71 (d, 1H, 1-H, J = 8.2 Hz), 6.76 (d, 1H, 2-H, J = 8.2 Hz), 7.40 (d, 2H, 2'-H, 6'-H, J = 8.8 Hz), 7.44 (d, 1H, C=CH, J = 2.6 Hz), 8.22 (d, 2H, 3'-H, 5'-H, J = 8.7 Hz).- [α]_D²⁰ = +108°.- DC (Aceton): Rf = 0.20.- C₂₅H₂₄N₂O₅ (432.5) Ber. C 69.4 H 5.59 N 6.5 Gef. C 69.4 H 5.64 N 6.5.- Molmasse: 432 (ms).

(E)-(5R,9R,13S,14S)-(-)-(4,5α-Epoxy-14-hydroxy-3-methoxy-17-methyl-7-(2-nitrobenzyliden)-morphinan-6-on (5d)

2 mmol 4b und 2.1 mmol 2-Nitrobenzaldehyd werden 60 h unter Lichtausschluß in 30 ml EtOH gerührt. Anschließend wird das Lösungsmittel i. Vak. abgezogen, der Rückstand 1 min in 10 ml AcOH/1 ml konz. HCl gekocht. Nach dem Erkalten wird mit H₂O verdünnt und mit Et₂O extra-

hiert. Die wäßrige Phase wird mit KOH alkalisch gestellt und der ausgefallene Niederschlag mit CH_2Cl_2 ausgeschüttelt. Nach Trocknung über Na_2SO_4 wird i. Vak. eingedampft, der Rückstand durch SC (Fließmittel: Aceton) gereinigt. Das Eluat wird eingedampft, der ölige Rückstand in MeOH aufgenommen und erneut zur Trockne eingedampft. Hellgelbe Kristalle, Schmp. ab 180°C (Zers.) (MeOH). Ausb. 26%. - IR (KBr): $\tilde{\nu}$ = 3410 (OH), 1680 (CO), 1630 (C=C), 1590 (Aryl), 1515, 1330 cm^{-1} (NO_2). - UV (0.1 N HCl): λ max (lg ϵ) = 268 nm (4.16). - $^1\text{H-NMR}$ (CDCl_3): δ = 1.63 (dd, 1H, 15-H_e, J = 12.0, J = 2.9 Hz), 2.18 (dd, 1H, 8-H_a, J = 14.9, J = 2.9 Hz), 2.25-2.60 (m, 5H, 8-H_e, 10-H_a, 15-H_a, 16-H_a, 16-H_e), 2.37 (s, 3H, NCH₃), 2.78 (d, 1H, 9-H, J = 6.2 Hz), 3.19 (d, 1H, 10-H_e, J = 18.7 Hz), 3.88 (s, 3H, OCH₃), 4.69 (s, 1H, 5-H), 6.64 (d, 1H, 1-H, J = 8.2 Hz), 6.72 (d, 1H, 2-H, J = 8.2 Hz), 7.49 (m, 2H, 5'-H, 6'-H), 7.62 (t, 1H, 4'-H, J = 7.5 Hz), 7.76 (d, 1H, C=CH, J = 2.5 Hz), 8.12 (d, 1H, 3'-H, J = 8.1 Hz). - $[\alpha]_D^{20}$ = -88°. - DC (Aceton): Rf = 0.56. - $\text{C}_{25}\text{H}_{24}\text{N}_2\text{O}_6$ (448.5) Ber. C 67.0 H 5.39 N 6.3 Gef. C 66.8 H 5.50 N 6.2. - Molmasse: 448 (ms).

(E)-(5R,9R,13S,14S)-(-)-4,5 α -Epoxy-14-hydroxy-3-methoxy-17-methyl-7-(3-nitrobenzyliden)-morphinan-6-on (5e)

In 20 ml H₂O werden 200 mg KOH gelöst und 2 mmol 3-Nitrobenzaldehyd darin suspendiert. Eine Lösung von 1 mmol **1b**-HCl in 10 ml H₂O wird langsam unter Röhren zugetropft und danach noch 1 d bei Raumtemp. gerührt. Der Niederschlag wird abgesaugt und in salzaurem H₂O aufgenommen. Nach Extraktion mit Et₂O wird die wäßrige Phase wieder alkalisch gemacht. Der gebildete Niederschlag wird abgesaugt, mit H₂O gewaschen und durch SC (Fließmittel: MeOH) gereinigt. Hellgelbe Kristalle, Schmp. ab 120°C (Zers.) (MeOH/H₂O). Ausb. 16%. - IR (KBr): $\tilde{\nu}$ = 3400 (OH), 1685 (CO), 1630 (C=C), 1600 (Aryl), 1525, 1345 cm^{-1} (NO_2). - UV (0.1 N HCl): λ max (lg ϵ) = 276 nm (4.08). - $^1\text{H-NMR}$ (CDCl_3): δ = 1.67 (d, 1H, 15-H_e, J = 9.5 Hz), 2.31-2.51 (m, 4H, 8-H_e, 15-H_a, 16-H_a, 16-H_e), 2.40 (s, 3H, NCH₃), 2.67 (dd, 1H, 10-H_a, J = 18.8, J = 6.4 Hz), 2.85-2.91 (m, 2H, 8-H_a, 9-H), 3.27 (d, 1H, 10-H_e, J = 18.8 Hz), 3.89 (s, 3H, OCH₃), 4.69 (s, 1H, 5-H), 6.71 (d, 1H, 1-H, J = 8.3 Hz), 6.77 (d, 1H, 2-H, J = 8.2 Hz), 7.55 (t, 1H, 5'-H, J = 7.6 Hz), 7.59 (d, 1H, C=CH, J = 3.1 Hz), 7.66 (d, 1H, 6'-H, J = 7.8 Hz), 8.16-8.19 (m, 2H, 2'-H, 4'-H). - $[\alpha]_D^{20}$ = -58°. - DC (Aceton): Rf = 0.51. - $\text{C}_{25}\text{H}_{24}\text{N}_2\text{O}_6$ 1/2 MeOH (464.5) Ber. C 65.9 H 5.64 N 6.0 Gef. C 66.0 H 5.65 N 5.8. - Molmasse: 448 (ms).

(E)-(5R,9R,13S,14S)-(+)-4,5 α -Epoxy-14-hydroxy-3-methoxy-17-methyl-7-(4-nitrobenzyliden)-morphinan-6-on (5f)

a. Darstellung aus **2f/3f** nach AAV 2b. Ausb. 74%.

b. 5 mmol 4-Nitrobenzaldehyd werden in 20 ml EtOH gelöst. Dazu wird bei Raumtemp. eine Lösung von 2 mmol **1b** in 30 ml EtOH getropft, die mit einer Lösung von 200 mg KOH in 1 ml H₂O versetzt ist. Nach 2 h wird abgesaugt und mit EtOH gewaschen. Ausb. 21%. - Gelbe Nadeln, Schmp. 251-252° (Zers.) ($\text{CHCl}_3/\text{EtOH}$). - IR (KBr): $\tilde{\nu}$ = 3410 (OH), 1680 (CO), 1625 (C=C), 1600 (Aryl), 1510, 1340 cm^{-1} (NO_2). - UV (0.1 N HCl): λ max (lg ϵ) = 310 nm (4.17). - $^1\text{H-NMR}$ (CDCl_3): δ = 1.67 (d, 1H, 15-H_e, J = 9.2 Hz), 2.31-2.52 (m, 4H, 8-H_e, 15-H_a, 16-H_a, 16-H_e), 2.41 (s, 3H, NCH₃), 2.65 (dd, 1H, 10-H_a, J = 18.7, J = 6.3 Hz), 2.85-2.91 (m, 2H, 8-H_a, 9-H), 3.27 (d, 1H, 10-H_e, J = 18.7 Hz), 3.88 (s, 3H, OCH₃), 4.69 (s, 1H, 5-H), 4.85 (s, br., 1H, OH, +D₂O:-), 6.70 (d, 1H, 1-H, J = 8.2 Hz), 6.76 (d, 1H, 2-H, J = 8.2 Hz), 7.51 (d, 2H, 2'-H, 6'-H, J = 8.7 Hz), 7.58 (d, 1H, C=CH, J = 2.4 Hz), 8.21 (d, 2H, 3'-H, 5'-H, J = 8.7 Hz). - $^{13}\text{C-NMR}$ (CDCl_3): δ = 22.17 (t, C-15), 31.73 (t, C-10), 33.65 (t, C-8), 42.91 (q, NCH₃), 44.91 (t, C-16), 47.32 (s, C-13), 56.89 (q, OCH₃), 64.31 (d, C-9), 70.86 (s, C-14), 89.76 (d, C-5), 115.13 (d, C-1), 119.86 (d, C-2), 123.64 (d, C-3', C-5'), 125.12 (s, C-11), 130.01 (s, C-12), 130.51 (d, C-2', C-6'), 135.83 (s, C-7), 136.53 (d, C- α), 141.97 (s, C-1'), 142.73 (s, C-4), 145.44 (s, C-3). 147.46 (s, C-4'). 197.73 (s, C-6). - $[\alpha]_D^{20}$ = +119°. - DC (Aceton): Rf = 0.53. - $\text{C}_{25}\text{H}_{24}\text{N}_2\text{O}_6$ (448.5) Ber. C 67.0 H 5.39 N 6.3 Gef. C 66.9 H 5.40 N 6.2. - Molmasse: 448 (ms).

(6R,6aR,8R,12R,12aS)-(-)-1,12-Epoxy-5,6,6a,7,8,11-hexahydro-6,12a-iminoethano-2-methoxy-10,15-dimethyl-8-(3-nitrophenyl)-(12H)-naphtho[2,1-g]chinolin-9-carbonsäuremethylester (7c)

Darstellung aus **5b** nach AAV 3a. (Fließmittel: MeOH). 1. Fraktion: Gelbe Kristalle, Schmp. ab 178°C (Zers.) (MeOH/H₂O). Ausb. 19%. - IR (KBr): $\tilde{\nu}$ = 3360 (NH), 1690 (CO), 1650 (C=C), 1605 (Aryl), 1525, 1345 cm^{-1} (NO_2). - UV (0.1 N HCl): λ max (lg ϵ) = 268 (4.01), 336 nm (3.81). - $^1\text{H-NMR}$ (CDCl_3): δ = 1.45-1.56 (m, 1H, 7-H_a), 1.64 (dd, 1H, 7-H_e, J = 16.0, J = 5.9 Hz), 1.79-1.84 (m, 1H, 13-H_e), 1.90 (dt, 1H, 13-H_a, J = 11.9, J = 4.8 Hz), 2.05-2.15 (m, 1H, 6a-H), 2.17-2.27 (m, 1H, 14-H_a), 2.30 (s, 3H, CH₃), 2.34 (s, 3H, NCH₃), 2.35-2.53 (m, 2H, 5-H_a, 14-H_e), 2.99 (dd, 1H, 6-H, J = 6.0, J = 2.7 Hz), 3.00 (d, 1H, 5-H_e, J = 18.2 Hz), 3.52 (s, 3H, COOCH₃), 3.87 (s, 3H, OCH₃), 4.25 (s, 1H, 8-H), 4.96 (s, 1H, 12-H), 5.83 (s, 1H, NH, +CF₃COOD:-), 6.68 (d, 1H, 4-H, J = 8.2 Hz), 6.76 (d, 1H, 3-H, J = 8.2 Hz), 7.41 (t, 1H, 5'-H, J = 7.8 Hz), 7.60 (d, 1H, 6'-H, J = 7.7 Hz), 8.04 (dd, 1H, 4'-H, J = 8.0, J = 1.1 Hz), 8.10 (t, 1H, 2'-H, J = 1.8 Hz). - $[\alpha]_D^{20}$ = -69°. - DC (MeOH): Rf = 0.34. - $\text{C}_{30}\text{H}_{31}\text{N}_3\text{O}_6$ (529.6) Ber. C 66.9 H 5.99 N 7.8 Gef. C 66.5 H 5.87 N 7.8. - Molmasse: 529 (ms).

(6R,6aR,8S,12R,12aS)-(-)-1,12-Epoxy-5,6,6a,7,8,11-hexahydro-6,12a-iminoethano-2-methoxy-10,15-dimethyl-8-(3-nitrophenyl)-(12H)-naphtho[2,1-g]chinolin-9-carbonsäuremethylester (6c)

Darstellung siehe **7c**. 2. Fraktion. Amorphes gelbes Pulver, Schmp. ab 105°C (Zers.) (MeOH/H₂O). Ausb. 33%. - IR (KBr): $\tilde{\nu}$ = 3360 (NH), 1680 (CO), 1665, 1630 (C=C), 1600 (Aryl), 1520, 1340 cm^{-1} (NO_2). - UV (0.1 N HCl): λ max (lg ϵ) = 270 (4.01), 336 nm (3.83). - $^1\text{H-NMR}$ (CDCl_3): δ = 1.16-1.26 (m, 1H, 7-H_a), 1.67 (dd, 1H, 7-H_e, J = 16.2, J = 6.2 Hz), 1.85-1.90 (m, 1H, 13-H_e), 1.98 (dd, 1H, 13-H_a, J = 12.1, J = 4.7 Hz), 2.13-2.24 (m, 2H, 5-H_a, 14-H_a), 2.29 (s, 3H, CH₃), 2.39 (s, 3H, NCH₃), 2.41-2.64 (m, 2H, 6a-H, 14-H_e), 2.88 (d, 1H, 5-H_e, J = 18.7 Hz), 3.09 (dd, 1H, 6-H, J = 5.8, J = 2.6 Hz), 3.61 (s, 3H, COOCH₃), 3.94 (s, 3H, OCH₃), 4.35 (s, 1H, 8-H), 4.93 (s, 1H, 12-H), 5.98 (s, 1H, NH, +CF₃COOD:-), 6.47 (d, 1H, 4-H, J = 8.2 Hz), 6.66 (d, 1H, 3-H, J = 8.2 Hz), 7.12 (t, 1H, 5'-H, J = 7.8 Hz), 7.20 (dt, 1H, 6'-H, J = 7.7, J = 1.2 Hz), 7.72 (s, 1H, 2'-H), 7.85 (dt, 1H, 4'-H, J = 8.0, J = 1.1 Hz). - $[\alpha]_D^{20}$ = -131°. - DC (MeOH): Rf = 0.22. - $\text{C}_{30}\text{H}_{31}\text{N}_3\text{O}_6$ (529.6) Ber. C 66.9 H 5.99 N 7.8 Gef. C 66.8 H 5.92 N 7.7. - Molmasse: 529 (ms).

(6R,6aR,8R,12R,12aS)-(-)-1,12-Epoxy-5,6,6a,7,8,11-hexahydro-6,12a-iminoethano-2-methoxy-10,15-dimethyl-8-(3-nitrophenyl)-(12H)-naphtho[2,1-g]chinolin-9-carbonsäureethylester (7d)

Darstellung aus **5b** nach AAV 3a (Fließmittel: MeOH), 1. Fraktion. Gelbe Plättchen, Schmp. ab 191°C (Zers.) (EtOH/H₂O). Ausb. 15%. - $[\alpha]_D^{20}$ = -31°. - DC (MeOH): Rf = 0.34. - $\text{C}_{31}\text{H}_{33}\text{N}_3\text{O}_6$ (543.6) Ber. C 67.4 H 6.20 N 7.6 Gef. C 67.4 H 6.13 N 7.8. - Molmasse: 543 (ms).

(6R,6aR,8S,12R,12aS)-(-)-1,12-Epoxy-5,6,6a,7,8,11-hexahydro-6,12a-iminoethano-2-methoxy-10,15-dimethyl-8-(3-nitrophenyl)-(12H)-naphtho[2,1-g]chinolin-9-carbonsäureethylester (6d)

Darstellung s. **7d**, 2. Fraktion. Amorphes gelbes Pulver, Schmp. ab 100°C (Zers.) (EtOH/H₂O). Ausb. 31%. - $[\alpha]_D^{20}$ = -112°. - DC (MeOH): Rf = 0.21. - $\text{C}_{31}\text{H}_{33}\text{N}_3\text{O}_6$ (543.6) Ber. C 67.4 H 6.20 N 7.6 Gef. C 67.7 H 6.09 N 7.6. - Molmasse: 543 (ms).

(6R,6aR,8R,12R,12aS)-(-)-1,12-Epoxy-5,6,6a,7,8,11-hexahydro-6,12a-iminoethano-2-methoxy-10,15-dimethyl-8-(4-nitrophenyl)-(12H)-naphtho[2,1-g]chinolin-9-carbonsäureethylester (7e)

Darstellung aus **5c** nach AAV 3a (Fließmittel: Aceton). 1. Fraktion. Amorphes gelbes Pulver, Schmp. ab 150°C (Zers.) (MeOH/H₂O). Ausb. 11%. - IR (KBr): $\tilde{\nu}$ = 3400 (NH), 1690 (CO), 1670, 1630 (C=C), 1600 (Aryl), 1510, 1340 cm^{-1} (NO_2). - UV (0.1 N HCl): λ max (lg ϵ) = 284 nm

(4.17).- ¹H-NMR (CDCl₃): δ = 1.48-1.68 (m, 2H, 7-H_a, 7-H_e), 1.74-1.80 (m, 1H, 13-H_c), 1.82 (dt, 1H, 13-H_a, J = 11.8, J = 4.9 Hz), 2.03-2.11 (m, 1H, 6a-H), 2.20 (dt, 1H, 14-H_a, J = 11.8, J = 4.5 Hz), 2.27 (s, 3H, CH₃), 2.31 (s, 3H, NCH₃), 2.38-2.50 (m, 2H, 5-H_a, 14-H_e), 2.94-2.97 (m, 1H, 6-H), 2.98 (d, 1H, 5-H_e, J = 18.6 Hz), 3.49 (s, 3H, COOCH₃), 3.84 (s, 3H, OCH₃), 4.22 (s, 1H, 8-H), 4.91 (s, 1H, 12-H), 5.75 (s, 1H, NH, +CF₃COOD:-), 6.65 (d, 1H, 4-H, J = 8.2 Hz), 6.72 (d, 1H, 3-H, J = 8.2 Hz), 7.39 (dt, 2H, 2'-H, 6'-H, J = 8.7, J = 2.0 Hz), 8.09 (dt, 2H, 3'-H, 5'-H, J = 8.7, J = 2.0 Hz).- [α]_D²⁰ = -7°.- DC (Aceton): Rf = 0.35.- C₃₀H₃₁N₃O₆·1/2 H₂O (538.6) Ber. C 66.9 H 5.99 N 7.8 Gef. C 66.8 H 5.76 N 7.9.- Molmasse: 529 (ms).

(6R,6aR,8S,12R,12aS)-(-)-1,12-Epoxy-5,6,6a,7,8,11-hexahydro-6,12a-iminoethano-2-methoxy-10,15-dimethyl-8-(4-nitrophenyl)-(12H)-naphtho[2,1-g]chinolin-9-carbonsäuremethylester (**6e**)

Darstellung s. **7e**. 2. Fraktion. Amorphes gelbes Pulver, Schmp. ab 120°C (Zers.) (MeOH/H₂O). Ausb. 17%.- IR (KBr): ν = 3380 (NH), 1690 (CO), 1670, 1630 (C=C), 1600 (Aryl), 1510, 1340 cm⁻¹ (NO₂).- UV (0.1 N HCl): λ max (lg ε) = 284 nm (4.07).- ¹H-NMR (CDCl₃): δ = 1.15-1.26 (m, 1H, 7-H_a), 1.67 (dd, 1H, 7-H_e, J = 17.2, J = 6.2 Hz), 1.78-2.00 (m, 2H, 13-H_a, 13-H_e), 2.11-2.22 (m, 2H, 5-H_a, 14-H_a), 2.25 (s, 3H, CH₃), 2.36 (s, 3H, NCH₃), 2.36-2.58 (m, 2H, 6a-H, 14-H_e), 2.88 (d, 1H, 5-H_e, J = 18.7 Hz), 3.06 (dd, 1H, J = 6.0, J = 2.8 Hz), 3.59 (s, 3H, COOCH₃), 3.92 (s, 3H, OCH₃), 4.31 (s, 1H, 8-H), 4.91 (s, 1H, 12-H), 5.93 (s, 1H, NH, +CF₃COOD:-), 6.49 (d, 1H, 4-H, J = 8.2 Hz), 6.70 (d, 1H, 3-H, J = 8.3 Hz), 6.97 (dt, 2H, 2'-H, 6'-H, J = 8.8, J = 1.9 Hz), 7.78 (dt, 2H, 3'-H, 5'-H, J = 8.8, J = 1.9 Hz).- [α]_D²⁰ = -95°.- DC (Aceton): Rf = 0.12.- C₃₀H₃₁N₃O₆·1/2 H₂O (538.6) Ber. C 66.9 H 5.99 N 7.8 Gef. C 67.2 H 5.80 N 8.0.- Molmasse: 529 (ms).

(6R,6aR,8S,12R,12aS)-(-)-1,12-Epoxy-5,6,6a,7,8,11-hexahydro-6,12a-iminoethano-2-methoxy-10,15-dimethyl-8-(4-nitrophenyl)-(12H)-naphtho[2,1-g]chinolin-9-carbonsäureethylester (**7f**)

Darstellung aus **5c** nach AAV 3a. (Fließmittel: Aceton), 1. Fraktion. Gelbe Kristalle, Schmp. ab 135°C (Zers.) (EtOH/H₂O). Ausb. 21%.- [α]_D²⁰ = -11°.- DC (Aceton): Rf = 0.32.- C₃₁H₃₃N₃O₆·1/2 H₂O (552.6) Ber. C 67.4 H 6.20 N 7.6 Gef. C 67.4 H 6.01 N 7.5.- Molmasse: 543 (ms).

(6R,6aR,8S,12R,12aS)-(-)-1,12-Epoxy-5,6,6a,7,8,11-hexahydro-6,12a-iminoethano-2-methoxy-10,15-dimethyl-8-(4-nitrophenyl)-(12H)-naphtho[2,1-g]chinolin-9-carbonsäureethylester (**6f**)

Darstellung s. **7f**, 2. Fraktion. Gelbe Kristalle, Schmp. ab 105°C (Zers.) (EtOH/H₂O). Ausb. 41%.- [α]_D²⁰ = -91°.- DC (Aceton): Rf = 0.12.- C₃₁H₃₃N₃O₆·1/2 H₂O (552.6) Ber. C 67.4 H 6.20 N 7.6 Gef. C 67.5 H 6.13 N 7.6.- Molmasse: 543 (ms).

(6R,6aS,8R,12R,12aS)-(-)-1,12-Epoxy-5,6,6a,7,8,11-hexahydro-6a-hydroxy-6,12a-iminoethano-2-methoxy-10,15-dimethyl-8-(2-nitrophenyl)-(12H)-naphtho[2,1-g]chinolin-9-carbonsäureethylester (**6h**)

Darstellung aus **5d** nach AAV 3b, 1. Fraktion. Gelbe Kristalle, Schmp. ab 183°C (Zers.) (EtOH/H₂O). Ausb. 19%.- IR (KBr): ν = 3390 (OH), 3360 (NH), 1690 (CO), 1630 (C=C), 1600 (Aryl), 1520, 1360 cm⁻¹ (NO₂).- UV (0.1 N HCl): λ max (lg ε) = 328 nm (3.83).- ¹H-NMR (CDCl₃): δ = 1.05 (t, 3H, CH₂-CH₃, J = 7.1 Hz), 1.66-1.73 (m, 3H, 7-H_a, 7-H_e, 13-H_c), 2.19 (d, 1H, 5-H_a, J = 17.5 Hz), 2.21-2.49 (m, 3H, 13-H_a, 14-H_e), 2.28 (s, 3H, CH₃), 2.35 (s, 3H, NCH₃), 2.85 (d, 1H, 6-H, J = 6.4 Hz), 3.03 (d, 1H, 5-H_e, J = 18.7 Hz), 3.79-3.89 (m, 1H, CHH-CH₃), 3.91 (s, 3H, OCH₃), 3.97-4.07 (m, 1H, CHH-CH₃), 4.80 (s, br., 1H, OH, +CF₃COOD:-), 4.93 (s, 1H, 12-H), 5.08 (s, 1H, 8-H), 5.65 (s, 1H, NH, +CF₃COOD:-), 6.45 (d, 1H, 4-H, J = 8.2 Hz), 6.60 (d, 1H, 3-H, J = 8.2 Hz), 7.05-7.17 (m, 3H, 4'-H, 5'-H, 6'-H), 7.51 (dd, 1H, 3'-H, J = 6.0, J = 3.5 Hz).- [α]_D²⁰ = -371°.- DC

(Ethylacetat/Diethylamin: 59+1): Rf = 0.46.- C₃₁H₃₃N₃O₇ (559.6) Ber. C 66.5 H 5.94 N 7.5 Gef. C 66.5 H 5.99 N 7.3.- Molmasse: 559 (ms).

(6R,6aS,8S,12R,12aS)-(-)-1,12-Epoxy-5,6,6a,7,8,11-hexahydro-6a-hydroxy-6,12a-iminoethano-2-methoxy-10,15-dimethyl-8-(3-nitrophenyl)-(12H)-naphtho[2,1-g]chinolin-9-carbonsäuremethylester (**7i**)

Darstellung aus **5e** nach AAV 3a (Fließmittel: Aceton), 1. Fraktion. Gelbe Kristalle, Schmp. ab 178°C (Zers.) (MeOH/H₂O). Ausb. 17%.- IR (KBr): ν = 3360 (OH, NH), 1695 (CO), 1650 (C=C), 1605 (Aryl), 1515, 1340 cm⁻¹ (NO₂).- UV (0.1 N HCl): λ max (lg ε) = 266 (4.02), 336 nm (3.83).- ¹H-NMR (CDCl₃): δ = 1.60-1.64 (m, 1H, 13-H_c), 1.74 (d, 1H, 7-H_a, J = 16.5 Hz), 1.96 (d, 1H, 7-H_e, J = 16.5 Hz), 2.21-2.50 (m, 3H, 13-H_a, 14-H_a, 14-H_e), 2.30 (s, 3H, NCH₃), 2.34 (s, 3H, NCH₃), 2.65 (dd, 1H, 5-H_a, J = 18.3, J = 6.1 Hz), 2.78-2.80 (m, 1H, 6-H), 3.15 (d, 1H, 5-H_e, J = 18.5 Hz), 3.54 (s, 3H, COOCH₃), 3.87 (s, 3H, OCH₃), 4.29 (s, 1H, 8-H), 4.98 (s, 1H, 12-H), 5.79 (s, 1H, NH, +CF₃COOD:-), 6.68 (d, 1H, 4-H, J = 8.3 Hz), 6.75 (d, 1H, 3-H, J = 8.2 Hz), 7.44 (t, 1H, 5'-H, J = 7.9 Hz), 7.77 (dd, 1H, 6'-H, J = 7.8, J = 1.2 Hz), 8.04 (ddd, 1H, 4'-H, J = 7.9, J = 2.2, J = 0.9 Hz), 8.15 (t, 1H, 2'-H, J = 1.8 Hz).- [α]_D²⁰ = -52°.- DC (Aceton): Rf = 0.43.- C₃₀H₃₁N₃O₇·1/2 H₂O (554.6) Ber. C 65.0 H 5.82 N 7.6 Gef. C 64.8 H 5.68 N 7.5.- Molmasse: 545 (ms).

(6R,6aS,8S,12R,12aS)-(-)-1,12-Epoxy-5,6,6a,7,8,11-hexahydro-6a-hydroxy-6,12a-iminoethano-2-methoxy-10,15-dimethyl-8-(3-nitrophenyl)-(12H)-naphtho[2,1-g]chinolin-9-carbonsäuremethylester (**6i**)

Darstellung s. **7i**, 2. Fraktion. Amorphes gelbes Pulver, Schmp. ab 131° (Zers.) (MeOH/H₂O). Ausb. 22%.- IR (KBr): ν = 3380 (OH, NH), 1685 (CO), 1665, 1630 (C=C), 1600 (Aryl), 1520, 1340 cm⁻¹ (NO₂).- UV (0.1 N HCl): λ max (lg ε) = 268 (3.97), 338 nm (3.82).- ¹H-NMR (CDCl₃): δ = 1.62-1.72 (m, 2H, 7-H_a, 13-H_e), 1.78 (d, 1H, 7-H_e, J = 17.4 Hz), 2.15-2.47 (m, 4H, 5-H_a, 13-H_a, 14-H_a, 14-H_e), 2.27 (s, 3H, CH₃), 2.34 (s, 3H, NCH₃), 2.78 (d, 1H, 6-H, J = 6.4 Hz), 3.03 (d, 1H, 5-H_e, J = 18.7 Hz), 3.59 (s, 3H, COOCH₃), 3.94 (s, 3H, OCH₃), 4.41 (s, 1H, 8-H), 4.91 (s, 1H, 12-H), 5.95 (s, 1H, NH, +CF₃COOD:-), 6.46 (d, 1H, 4-H, J = 8.3 Hz), 6.65 (d, 1H, 3-H, J = 8.3 Hz), 7.13 (t, 1H, 5'-H, J = 7.8 Hz), 7.24-7.27 (m, 1H, 6'-H), 7.73 (t, 1H, 2'-H, J = 1.9 Hz), 7.85 (ddd, 1H, 4'-H, J = 7.9, J = 2.3, J = 1.0 Hz).- [α]_D²⁰ = -140°.- DC (Aceton): Rf = 0.28.- C₃₀H₃₁N₃O₇·1/2 H₂O (554.6) Ber. C 65.0 H 5.82 N 7.6 Gef. C 64.5 H 5.67 N 7.5.- Molmasse 545 (ms).

(6R,6aS,8R,12R,12aS)-(-)-1,12-Epoxy-5,6,6a,7,8,11-hexahydro-6a-hydroxy-6,12a-iminoethano-2-methoxy-10,15-dimethyl-8-(3-nitrophenyl)-(12H)-naphtho[2,1-g]chinolin-9-carbonsäureethylester (**7j**)

Darstellung aus **5e** nach AAV 3a. (Fließmittel: Aceton), 1. Fraktion. Gelbe Kristalle, Schmp. ab 200°C (Zers.) (EtOH/H₂O). Ausb. 11%.- [α]_D²⁰ = -67°.- DC (Aceton): Rf = 0.45.- C₃₁H₃₃N₃O₇·1/2 H₂O (568.6) Ber. C 65.5 H 6.03 N 7.4 Gef. C 65.9 H 5.91 N 7.3.- Molmasse: 559 (ms).

(6R,6aS,8S,12R,12aS)-(-)-1,12-Epoxy-5,6,6a,7,8,11-hexahydro-6a-hydroxy-6,12a-iminoethano-2-methoxy-10,15-dimethyl-8-(3-nitrophenyl)-(12H)-naphtho[2,1-g]chinolin-9-carbonsäureethylester (**6j**)

Darstellung s. **7j**, 2. Fraktion. Gelbe Nadeln, Schmp. ab 136°C (Zers.) (EtOH/H₂O). Ausb. 14%.- [α]_D²⁰ = -156°.- DC (Aceton): Rf = 0.30.- C₃₁H₃₃N₃O₇·1/2 H₂O (568.6) Ber. C 65.5 H 6.03 N 7.4 Gef. C 65.5 H 6.07 N 7.5.- Molmasse: 559 (ms).

(6R,6aS,8R,12R,12aS)-(-)-1,12-Epoxy-5,6,6a,7,8,11-hexahydro-6a-hydroxy-6,12a-iminoethano-2-methoxy-10,15-dimethyl-8-(4-nitrophenyl)-(12H)-naphtho[2,1-g]chinolin-9-carbonsäureethylester (**7k**)

Darstellung aus **5f** nach AAV 3a (Fließmittel: Aceton), 1. Fraktion. Amorphes gelbes Pulver, Schmp. ab 150°C (Zers.) (MeOH/H₂O). Ausb. 14%.- IR (KBr): ν = 3380 (OH, NH), 1685 (CO), 1665, 1630 (C=C).

1600 (Aryl), 1510, 1340 cm^{-1} (NO_2).- UV (0.1 N HCl): λ_{\max} ($\lg \epsilon$) = 284 nm (4.15).- $^1\text{H-NMR}$ (CDCl_3): δ = 1.59-1.63 (m, 1H, 13- H_{e}), 1.70 (d, 1H, 7- H_{a} , J = 16.5 Hz), 1.95 (d, 1H, 7- H_{e} , J = 16.5 Hz), 2.19-2.43 (m, 3H, 13- H_{a} , 14- H_{a} , 14- H_{e}), 2.29 (s, 3H, CH_3), 2.30 (s, 3H, NCH_3), 2.62 (dd, 1H, 5- H_{a} , J = 18.2, J = 6.5 Hz), 2.70 (d, 1H, 6- H , J = 6.5 Hz), 3.15 (d, 1H, 5- H_{e} , J = 18.2 Hz), 3.53 (s, 3H, COOCH_3), 3.86 (s, 3H, OCH_3), 4.29 (s, 1H, 8- H), 4.94 (s, 1H, 12- H), 5.78 (s, 1H, NH, + CF_3COOD :-), 6.67 (d, 1H, 4- H , J = 8.2 Hz), 6.74 (d, 1H, 3- H , J = 8.2 Hz), 7.49 (dd, 2H, 2'- H , 6'- H , J = 8.7, J = 1.9 Hz), 8.14 (dd, 2H, 3'- H , 5'- H , J = 8.7, J = 1.9 Hz).- $[\alpha]_D^{20}$ = -61°.- DC (Aceton): Rf = 0.44.- $\text{C}_{30}\text{H}_{29}\text{N}_3\text{O}_7 \cdot 1/2 \text{H}_2\text{O}$ (554.6) Ber. C 65.0 H 5.82 N 7.6 Gef. C 64.6 H 5.80 N 7.5.- Molmasse: 545 (ms).

(6R,6aS,8S,12R,12aS)-(-)-1,12-Epoxy-5,6,6a,7,8,11-hexahydro-6a-hydroxy-6,12a-iminoethano-2-methoxy-10,15-dimethyl-8-(4-nitrophenyl)-(12H)-naphtho[2,1-g]chinolin-9-carbonsäureethylester (6k)

Darstellung s. 7k, 2. Fraktion. Gelbe Nadeln, Schmp. ab 150°C (Zers.) ($\text{MeOH}/\text{H}_2\text{O}$). Ausb. 20%.- IR (KBr): $\tilde{\nu}$ = 3390 (OH, NH), 1690 (CO), 1670, 1630 (C=C), 1600 (Aryl), 1515, 1345 cm^{-1} (NO_2).- UV (0.1 N HCl): λ_{\max} ($\lg \epsilon$) = 284 nm (4.03).- $^1\text{H-NMR}$ (CDCl_3): δ = 1.57-1.64 (m, 2H, 7- H_{a} , 13- H_{e}), 1.73 (d, 1H, 7- H_{e} , J = 17.4 Hz), 2.14-2.25 (m, 3H, 13- H_{a} , 14- H_{a} , 14- H_{e}), 2.19 (s, 3H, CH_3), 2.28 (s, 3H, NCH_3), 2.37 (dd, 1H, 5- H_{a} , J = 19.0, J = 6.7 Hz), 2.72 (d, 1H, 6- H , J = 6.7 Hz), 2.98 (d, 1H, 5- H_{e} , J = 19.0 Hz), 3.53 (s, 3H, COOCH_3), 3.87 (s, 3H, OCH_3), 4.33 (s, 1H, 8- H), 4.87 (s, 1H, 12- H), 5.84 (s, 1H, NH, + CF_3COOD :-), 6.44 (d, 1H, 4- H , J = 8.2 Hz), 6.65 (d, 1H, 3- H , J = 8.2 Hz), 6.96 (d, 2H, 2'- H , 6'- H , J = 8.7 Hz), 7.74 (d, 2H, 3'- H , 5'- H , J = 8.7 Hz).- $[\alpha]_D^{20}$ = -80°.- DC (Aceton): Rf = 0.26.- $\text{C}_{30}\text{H}_{29}\text{N}_3\text{O}_7 \cdot 1/2 \text{H}_2\text{O}$ (554.6) Ber. C 65.0 H 5.82 N 7.6 Gef. C 64.6 H 5.77 N 7.4.- Molmasse: 545 (ms).

(6R,6aS,8R,12R,12aS)-(-)-1,12-Epoxy-5,6,6a,7,8,11-hexahydro-6a-hydroxy-6,12a-iminoethano-2-methoxy-10,15-dimethyl-8-(4-nitrophenyl)-(12H)-naphtho[2,1-g]chinolin-9-carbonsäureethylester (7l)

Darstellung aus 5f nach AAV 3a (Fließmittel: Aceton), 1. Fraktion. Gelbe Kristalle, Schmp. ab 115°C (Zers.) ($\text{EtOH}/\text{H}_2\text{O}$). Ausb. 24%.- $[\alpha]_D^{20}$ = -20°.- DC (Aceton): Rf = 0.46.- $\text{C}_{31}\text{H}_{33}\text{N}_3\text{O}_7 \cdot 1/2 \text{H}_2\text{O}$ (568.6) Ber. C 65.5 H 6.03 N 7.4 Gef. C 65.3 H 6.23 N 7.2.- Molmasse: 559 (ms).

(6R,6aS,8S,12R,12aS)-(-)-1,12-Epoxy-5,6,6a,7,8,11-hexahydro-6a-hydroxy-6,12a-iminoethano-2-methoxy-10,15-dimethyl-8-(4-nitrophenyl)-(12H)-naphtho[2,1-g]chinolin-9-carbonsäureethylester (6l)

Darstellung s. 7l, 2. Fraktion. Gelbe Kristalle, Schmp. ab 128°C (Zers.) ($\text{EtOH}/\text{H}_2\text{O}$). Ausb. 21%.- $[\alpha]_D^{20}$ = -110°.- DC (Aceton): Rf = 0.24.- $\text{C}_{31}\text{H}_{33}\text{N}_3\text{O}_7 \cdot 1/2 \text{H}_2\text{O}$ (568.6) Ber. C 65.5 H 6.03 N 7.4 Gef. C 66.0 H 6.21 N 7.4.- Molmasse: 559 (ms).

(6R,6aR,12R,12aS)-(-)-1,12-Epoxy-5,6,6a,7-tetrahydro-6,12a-iminoethano-2-methoxy-10,15-dimethyl-8-(3-nitrophenyl)-(12H)-naphtho[2,1-g]chinolin-9-carbonsäuremethylester (8c)

Darstellung aus 6c/7c nach AAV 4. Amorphes hellbeige gefärbtes Pulver, Schmp. ab 140°C (Zers.) ($\text{MeOH}/\text{H}_2\text{O}$). Ausb. 36%.- IR (KBr): $\tilde{\nu}$ = 1725 (CO), 1625 (C=C), 1600 (Aryl), 1525, 1345 cm^{-1} (NO_2).- UV (0.1 N HCl): λ_{\max} ($\lg \epsilon$) = 276 nm (4.18).- $^1\text{H-NMR}$ (CDCl_3): δ = 1.74-2.56 (m, 8H, 5- H_{a} , 6a-H, 7- H_{a} , 7- H_{e} , 13- H_{a} , 13- H_{e} , 14- H_{a} , 14- H_{e}), 2.39 (s, 3H, NCH_3), 2.61 (s, 3H, CH_3), 3.04 (d, 1H, 5- H_{e} , J = 18.6 Hz), 3.06-3.08 (m, 1H, 6- H), 3.50 und 3.53 (2s, 3H, COOCH_3), 3.87 (s, 3H, OCH_3), 5.56 und 5.57 (2s, 1H, 12- H), 6.61-6.64 (m, 1H, 4- H), 6.69-6.75 (m, 1H, 3- H), 7.33 und 7.48 (2d, 1H, 6'- H , J = 7.8 Hz), 7.55 und 7.62 (2t, 1H, 5'- H , J = 8.1 Hz), 7.89 und 8.06 (2s, 1H, 2'- H), 8.24 (d, 1H, 4'- H , J = 8.3 Hz).- $[\alpha]_D^{20}$ = -245°.- DC (Aceton): Rf = 0.11.- $\text{C}_{30}\text{H}_{29}\text{N}_3\text{O}_6$ (527.6) Ber. C 68.3 H 5.54 N 8.0 Gef. C 68.2 H 5.59 N 7.8.- Molmasse: 527 (ms).

(6R,6aR,12R,12aS)-(-)-1,12-Epoxy-5,6,6a,7-tetrahydro-6,12a-iminoethano-2-methoxy-10,15-dimethyl-8-(3-nitrophenyl)-(12H)-naphtho[2,1-g]chinolin-9-carbonsäureethylester (8d)

Darstellung aus 6d/7d nach AAV 4. Amorphes hellbeige gefärbtes Pulver, Schmp. ab 115°C (Zers.) ($\text{EtOH}/\text{H}_2\text{O}$). Ausb. 54%.- $[\alpha]_D^{20}$ = -209°.- DC (Aceton): Rf = 0.11.- $\text{C}_{31}\text{H}_{31}\text{N}_3\text{O}_6$ (541.6) Ber. C 68.8 H 5.77 N 7.8 Gef. C 68.9 H 5.94 N 7.7.- Molmasse: 541 (ms).

(6R,6aR,12R,12aS)-(-)-1,12-Epoxy-5,6,6a,7-tetrahydro-6,12a-iminoethano-2-methoxy-10,15-dimethyl-8-(4-nitrophenyl)-(12H)-naphtho[2,1-g]chinolin-9-carbonsäuremethylester (8e)

Darstellung aus 6e/7e nach AAV 4. Amorphes farbloses Pulver, Schmp. ab 219°C (Zers.) ($\text{MeOH}/\text{H}_2\text{O}$). Ausb. 73%.- IR (KBr): $\tilde{\nu}$ = 1720 (CO), 1630 (C=C), 1595 (Aryl), 1510, 1340 cm^{-1} (NO_2).- UV (0.1 N HCl): λ_{\max} ($\lg \epsilon$) = 278 nm (4.28).- $^1\text{H-NMR}$ (CDCl_3): δ = 1.77-2.01 (m, 4H, 7- H_{a} , 7- H_{e} , 13- H_{a} , 13- H_{e}), 2.28 (dd, 1H, 5- H_{a} , J = 19.0, J = 6.3 Hz), 2.23-2.45 (m, 2H, 6a-H, 14- H_{a}), 2.38 (s, 3H, NCH_3), 2.54-2.61 (m, 1H, 14- H_{e}), 3.04 (d, 1H, 5- H_{e} , J = 19.0 Hz), 3.06 (dd, 1H, 6- H , J = 6.3, J = 3.2 Hz), 3.51 (s, 3H, COOCH_3), 3.86 (s, 3H, OCH_3), 5.56 (s, 1H, 12- H), 6.63 (d, 1H, 4- H , J = 8.2 Hz), 6.72 (d, 1H, 3- H , J = 8.2 Hz), 7.19 und 7.34 (2dd, 2H, 2'- H , 6'- H , J = 8.4, J = 1.9 Hz), 8.21 und 8.28 (2dd, 2H, 3'- H , 5'- H , J = 8.4, J = 1.9 Hz).- $[\alpha]_D^{20}$ = -232°.- DC (Aceton): Rf = 0.16.- $\text{C}_{30}\text{H}_{29}\text{N}_3\text{O}_6$ (527.6) Ber. C 68.3 H 5.54 N 8.0 Gef. C 68.2 H 5.46 N 8.0.- Molmasse: 527 (ms).

(6R,6aR,12R,12aS)-(-)-1,12-Epoxy-5,6,6a,7-tetrahydro-6,12a-iminoethano-2-methoxy-10,15-dimethyl-8-(4-nitrophenyl)-(12H)-naphtho[2,1-g]chinolin-9-carbonsäureethylester (8f)

Darstellung aus 6f/7f nach AAV 4. Hellbeige Nadeln, Schmp. ab 212°C (Zers.) ($\text{EtOH}/\text{H}_2\text{O}$). Ausb. 45%.- $[\alpha]_D^{20}$ = -211°.- DC (Aceton): Rf = 0.19.- $\text{C}_{31}\text{H}_{31}\text{N}_3\text{O}_6$ (541.6) Ber. C 68.8 H 5.77 N 7.8 Gef. C 69.2 H 5.83 N 8.0.- Molmasse: 541 (ms).

(M)-(6R,6aS,12R,12aS)-(-)-1,12-Epoxy-5,6,6a,7-tetrahydro-6a-hydroxy-6,12a-iminoethano-2-methoxy-10,15-dimethyl-8-(2-nitrophenyl)-(12H)-naphtho[2,1-g]chinolin-9-carbonsäureethylester (8hM)

100 mg 6h werden in 10 ml EtOH gelöst, mit 10 Tropfen konz. HCl und 4 ml 0.1 M NaNO_2 -Lösung versetzt und 1 h bei Raumtemp. gerührt. Anschließend wird mit wäßriger KOH alkalisch gemacht, mit 50 ml H_2O versetzt, abgesaugt und mit H_2O gewaschen. Die Trennung der Atropisomeren 8hM und 8hP erfolgt durch SC (Fließmittel: Ethylacetat/Diethylamin: 59+1). Die 1. Fraktion wird i. Vak. eingedampft. Blaßgelbe Nadeln, Schmp. 228-230°C (EtOH). Ausb. 9%.- IR (KBr): $\tilde{\nu}$ = 3340 (OH), 1720 (CO), 1630 (C=C), 1605 (Aryl), 1525, 1335 cm^{-1} (NO_2).- UV (0.1 N HCl): λ_{\max} ($\lg \epsilon$) = 272 nm (4.19).- $^1\text{H-NMR}$ (CDCl_3): δ = 0.93 (t, 3H, CH_2CH_3 , J = 7.1 Hz), 1.76-1.81 (m, 1H, 13- H_{e}), 2.12 (d, 1H, 7- H_{a} , J = 16.0 Hz), 2.23 (d, 1H, 7- H_{e} , J = 16.0 Hz), 2.28-2.58 (m, 4H, 5- H_{a} , 13- H_{a} , 14- H_{e}), 2.34 (s, 3H, NCH_3), 2.61 (s, 3H, CH_3), 2.79 (d, 1H, 6- H , J = 5.8 Hz), 3.17 (d, 1H, 5- H_{e} , J = 18.9 Hz), 3.86 (s, 3H, OCH_3), 3.89-3.99 (m, 2H, CH_2), 5.63 (s, 1H, 12- H , 6.59 (d, 1H, 4- H , J = 8.2 Hz), 6.69 (d, 1H, 3- H , J = 8.2 Hz), 6.91-7.01 (m, 1H, 6'- H), 7.56 (mc, 2H, 4'- H , 5'- H), 8.13-8.17 (m, 1H, 3'- H).- $[\alpha]_D^{20}$ = -144°.- DC (Ethylacetat/Diethylamin: 59+1): Rf = 0.54.- $\text{C}_{31}\text{H}_{31}\text{N}_3\text{O}_7$ (557.6) Ber. C 66.8 H 5.60 N 7.5 Gef. C 66.9 H 5.65 N 7.5.- Molmasse: 557 (ms).

(P)-(6R,6aS,12R,12aS)-(-)-1,12-Epoxy-5,6,6a,7-tetrahydro-6a-hydroxy-6,12a-iminoethano-2-methoxy-10,15-dimethyl-8-(2-nitrophenyl)-(12H)-naphtho[2,1-g]chinolin-9-carbonsäureethylester (8hP)

Darstellung s. 8hM. Die 2. Fraktion wird bei Raumtemp. i. Vak. eingedampft und aus EtOH/ H_2O bei Raumtemp. umkristallisiert. Amorphes farbloses Pulver, Schmp. ab 115°C (Zers.) ($\text{EtOH}/\text{H}_2\text{O}$). Ausb. 19%.- IR (KBr): $\tilde{\nu}$ = 3390 (OH), 1720 (CO), 1630 (C=C), 1600 (Aryl), 1520, 1340 cm^{-1}

(NO₂).- UV (0.1 N HCl): λ_{max} (lg ϵ) = 278 nm (4.04).- ¹H-NMR (CDCl₃): δ = 0.90 (t, 3H, CH₂-CH₃, J = 7.1 Hz), 1.81 (d, 1H, 13-H_e, J = 9.5 Hz), 2.11 (d, 1H, 7-H_a, J = 16.0 Hz), 2.30-2.55 (m, 5H, 5-H_a, 7-H_e, 13-H_a, 14-H_a, 14-H_e), 2.35 (s, 3H, NCH₃), 2.63 (s, 3H, CH₃), 2.73 (d, 1H, 6-H, J = 6.3 Hz), 3.16 (d, 1H, 5-H_e, J = 18.7 Hz), 3.83 (s, 3H, OCH₃), 3.85-3.96 (m, 2H, CH₂), 5.54 (s, 1H, 12-H), 6.58 (d, 1H, 4-H, J = 8.2 Hz), 6.69 (d, 1H, 3-H, J = 8.2 Hz), 7.26 (dd, 1H, 6'-H, J = 7.8, J = 1.4 Hz), 7.56 (dt, 1H, 5'-H, J = 7.8, J = 1.4 Hz), 7.78 (dt, 1H, 4'-H, J = 7.5, J = 1.3 Hz), 8.11 (dd, 1H, 3'-H, J = 8.1, J = 1.3 Hz).- [α]_D²⁰ = -256°.- DC (Ethylacetat/Diethylamin: 59+1): Rf = 0.29.- C₃₁H₃₁N₃O₇ (557.6) Ber. C 66.8 H 5.60 N 7.5 Gef. C 66.7 H 5.48 N 7.4.- Molmasse: 557 (ms).

(6R,6aS,12R,12aS)-(-)-1,12-Epoxy-5,6,6a,7-tetrahydro-6a-hydroxy-6,12a-iminoethano-2-methoxy-10,15-dimethyl-8-(3-nitrophenyl)-(12H)-naphtho[2,1-g]chinolin-9-carbonsäuremethylester (**8i**)

Darstellung aus **6i/7i** nach AAV 4. Beige Kristalle, Schmp. ab 238°C (Zers.) (MeOH/H₂O). Ausb. 60%.- IR (KBr): $\tilde{\nu}$ = 3380 (OH), 1720 (CO), 1630 (C=C), 1595 (Aryl), 1525, 1345 cm⁻¹ (NO₂).- UV (0.1 N HCl): λ_{max} (lg ϵ) = 276 nm (4.20).- ¹H-NMR (CDCl₃): δ = 1.81 (d, 1H, 13-H_e, J = 9.3 Hz), 2.18 (d, 1H, 7-H_a, J = 16.1 Hz), 2.24-2.58 (m, 5H, 5-H_a, 7-H_e, 13-H_a, 14-H_a, 14-H_e), 2.35 (s, 3H, NCH₃), 2.61 (s, 3H, CH₃), 2.74-2.79 (m, 1H, 6-H), 3.19 (d, 1H, 5-H_e, J = 18.7 Hz), 3.50 und 3.53 (2s, 3H, COOCH₃), 3.85 und 3.86 (2s, 3H, OCH₃), 5.55 und 5.56 (2s, 1H, 12-H), 6.60-6.66 (m, 1H, 4-H), 6.70 und 6.72 (2d, 1H, 3-H, J = 8.2 Hz), 7.33 und 7.52 (dt und d, 1H, 6'-H, J = 7.7, J = 1.2 Hz und J = 8.0 Hz), 7.57-7.62 (m, 1H, 5'-H), 7.90 und 8.14 (2t, 1H, 2'-H, J = 1.8 Hz), 8.23 (dt, 1H, 4'-H, J = 7.3, J = 2.1 Hz).- [α]_D²⁰ = -246°.- DC (Aceton): Rf = 0.43.- C₃₀H₂₉N₃O₇ (543.6) Ber. C 66.3 H 5.38 N 7.7 Gef. C 66.2 H 5.35 N 7.6.- Molmasse: 543 (ms).

(6R,6aS,12R,12aS)-(-)-1,12-Epoxy-5,6,6a,7-tetrahydro-6a-hydroxy-6,12a-iminoethano-2-methoxy-10,15-dimethyl-8-(3-nitrophenyl)-(12H)-naphtho[2,1-g]chinolin-9-carbonsäureethylester (**8j**)

Darstellung aus **6j/7j** nach AAV 4. Hellbeige Plättchen, Schmp. ab 188°C (Zers.) (EtOH/H₂O). Ausb. 62%.- [α]_D²⁰ = -246°.- DC (Aceton): Rf = 0.41.- C₃₁H₃₁N₃O₇ (557.6) Ber. C 66.8 H 5.60 N 7.5 Gef. C 66.5 H 5.50 N 7.5.- Molmasse: 557 (ms).

(6R,6aS,12R,12aS)-(-)-1,12-Epoxy-5,6,6a,7-tetrahydro-6a-hydroxy-6,12a-iminoethano-2-methoxy-10,15-dimethyl-8-(4-nitrophenyl)-(12H)-naphtho[2,1-g]chinolin-9-carbonsäuremethylester (**8k**)

Darstellung aus **6k/7k** nach AAV 4. Amorphes hellbeiges Pulver, Schmp. ab 225°C (Zers.) (MeOH/H₂O). Ausb. 72%.- IR (KBr): $\tilde{\nu}$ = 3400 (OH), 1725 (CO), 1630 (C=C), 1600 (Aryl), 1515, 1345 cm⁻¹ (NO₂).- UV (0.1 N HCl): λ_{max} (lg ϵ) = 278 nm (4.18).- ¹H-NMR (CDCl₃): δ = 1.79 (d, 1H, 13-H_e, J = 9.6 Hz), 2.12-2.55 (m, 6H, 5-H_a, 7-H_a, 7-H_e, 13-H_e, 14-H_a, 14-H_e), 2.33 (s, 3H, NCH₃), 2.59 (s, 3H, CH₃), 2.74 (d, 1H, 6-H, J = 6.4 Hz), 3.17 (d, 1H, 5-H_e, J = 18.7 Hz), 3.48 (s, 3H, COOCH₃), 3.83 (s, 3H, OCH₃), 5.53 (s, 1H, 12-H), 6.60 (d, 1H, 4-H, J = 8.2 Hz), 6.68 (d, 1H, 3-H,

J = 8.2 Hz), 7.17 und 7.41 (2dd, 2H, 2'-H, 6'-H, J = 8.4, J = 1.8 Hz), 8.18 und 8.25 (2dd, 2H, 3'-H, 5'-H, J = 8.4, J = 2.3 Hz).- [α]_D²⁰ = -230°.- DC (Aceton): Rf = 0.52.- C₃₀H₂₉N₃O₇ (543.6) Ber. C 66.3 H 5.38 N 7.7 Gef. C 66.4 H 5.37 N 7.6.- Molmasse: 543 (ms).

(6R,6aS,12R,12aS)-(-)-1,12-Epoxy-5,6,6a,7-tetrahydro-6a-hydroxy-6,12a-iminoethano-2-methoxy-10,15-dimethyl-8-(4-nitrophenyl)-(12H)-naphtho[2,1-g]chinolin-9-carbonsäureethylester (**8l**)

Darstellung aus **6l/7l** nach AAV 4. Hellbeige Kristalle, Schmp. ab 248°C (Zers.) (EtOH/H₂O). Ausb. 52%.- [α]_D²⁰ = -225°.- DC (Aceton): Rf = 0.49.- C₃₁H₃₁N₃O₇ (557.6) Ber. C 66.8 H 5.60 N 7.5 Gef. C 66.9 H 5.67 N 7.5.- Molmasse: 557 (ms).

Literatur

- K. Görlitzer und M. Noack, Vortrag anlässlich der gemeinsamen wissenschaftlichen Tagung der Österreichischen Pharmazeutischen Gesellschaft und der Deutschen Pharmazeutischen Gesellschaft, Innsbruck, 1986; Sci. Pharm. 54, 178 (1986).
- Aus der Dissertation M. Noack, FU Berlin 1987.
- H. Teschemacher, Pharm. Ztg. 132, 556 (1987).
- R. Cotton und R. James, Annu. Rep. Med. Chem. 20, 21 (1985).
- B. Attali, C. Gouardères, H. Mazarguil, Y. Audiger und J. Cros, Neuropapt. 3, 53 (1982).
- M.F. Piercy, R.A. Lahti, L.A. Schroder, F.J. Einspahr und C. Barsuhn, Life Sci. 31, 1197 (1982).
- R.A. Lahti, P.F. von Voigtlander und C. Barsuhn, Life Sci. 31, 2257 (1982).
- P.F. von Voigtlander, R.A. Lahti und J.H. Ludens, J. Pharmacol. Exp. Therap. 224, 7 (1983).
- E.A. Barnard und C. Demoliou-Mason, Br. Med. Bull. 39, 37 (1983).
- Rote Liste (Hrsg.: Bundesverband der Pharmazeutischen Industrie e.V., Frankfurt/M.), Editio Cantor, Aulendorf/Württemberg 1986, Nr. 26084.
- K. Görlitzer und M. Noack, Arch. Pharm. (Weinheim) 319, 406 (1986).
- Die Zuordnungen erfolgten nach: F. Ghosland und P. Maroni, J. Med. Chem. Chim. Ther. 18, 22 (1983).
- K.A. Kovar und F. Schielein, Arch. Pharm. (Weinheim) 311, 73 (1978).
- L. Birkofe, S.M. Kim und H.D. Engels, Chem. Ber. 95, 1495 (1962).
- K.A. Kovar und U. Schwiecker, Arch. Pharm. (Weinheim) 307, 385 (1974).
- R.E. Lyle und L.P. Paradis, J. Am. Chem. Soc. 77, 6667 (1955).
- A. Dornow und W. Sassenberg, Liebigs Ann. Chem. 602, 14 (1957).
- J.P. Collman, J. Org. Chem. 26, 3162 (1961).
- T. Mukaiyama, K. Banno und K. Narasaka, J. Am. Chem. Soc. 96, 7503 (1974).
- B. Testa, Grundlagen der organischen Stereochemie, S. 66, Verlag Chemie GmbH, Weinheim, 1983.
- IUPAC: Nomenclature of Organic Chemistry (Hrsg.: J. Rigaudy und S.P. Klesney), S. 489, Pergamon Press, Oxford/New York/Toronto/Sidney/Paris/Frankfurt 1979. [Ph991]